

**DNMI** Det norske  
meteorologiske institutt

Boks 320 BLINDERN, 0314 OSLO 3 TLF. (02)605090 TELEX 11900

**FAGRAPPORT nr.**  
10/84 KLIMA**REFERANSE SIDE**

Rapportens tittel:

22 kV KRAFTLEDNING TIL ISKURAS  
RADIOLINJESTASJON

Is- og vindlaster

Dato: 09.11.1984

Rapporten er: Fortrolig

Saksbehandlere:

SVEIN M. FIKKE

*Svein M. Fikke*

Prosjektnr.: 280046

Arkivnr.: 84 23 432

Antall sider: 8

Opplag: 10

Faglig ansvarlig:

BJØRN AUNE

Fagsjef Klimaavdelingen DNMI

*Bjørn Aune*

Oppdragsgiver:

Tron Horn A/S for Teledirektoratet TBE

Oppdragsgivers ref.:

1349. TBE

4 omneord &amp; maksimum 23 karakterer

Kraftledning

Iskuras

Radiolinjestasjon

Klimalaster

Referat:

Nedbør, skyhøyder og vindforhold på indre deler av Finnmarksvidda er supplert med data fra Finland. Islasten er satt til 10 - 15 kg/m.

22 KV KRAFTLEDNING TIL IŠKURAS RL-STASJON  
TELEDIREKTORATET TBE  
IS- OG VINDLASTER

1. Stedsomtale.

Det er ikke foretatt synfaring av stedet, og omtalen er basert på kart.

Iškuras er en langstrakt fjellrekke vel 20 km sør for Karasjok. Fjellet er langstrakt i Ø-V retningen og består av flere enkeltopper, den høyeste er 643 m.o.h. Mot Bottenviken i sør er det praktisk talt ingen dekning over kote 450 (ca.). For øvrig er det ingen dekning i 600 m nivået i hele sektoren NØ-SSV. Mot nord er det også en åpning mot Porsangen. Se også trasékart i figur 1.

Televerkets stasjon skal bygges på høyde 597. Forsvarets stasjon ligger på høyde 643, en snau km SØ for Televerkets stasjon.

Siden beliggenheten er svært utsatt, vil vi gi en relativt grundig omtale av de momentene som har betydning for vind- og islastene. Det er tale om en ledningsforlengelse på under 1 km, men særlig den siste delen er vesentlig mer utsatt enn den bestående ledningen.

2. Driftserfaringer.

Alle opplysninger om kraftledningen og Forsvarets stasjon bygger på telefonsamtaler med driftsingeniøren i Luostejåkk Kraftlag og fenrik Mikkelsen og Eilert Basso på Forsvarets stasjon.

2.1 Kraftledningen.

Som vist i figur 1, kommer kraftledningen til Forsvarets stasjon opp på nordsiden og stopper i ca. kote 550, der den går over i jordkabel. Kraftledningen ble bygget i 1967, og de øverste spennene er dimensjonert for 10 kg/m islasc

og en vindhastighet (normalkomponent) på 38 m/s.

Luostejåkk Kraftlag opplyser at driftserfaringene har vært gode, men det er ofte is i det øverste spennet og særlig på endemasta. Det er som regel is rundt hele masten, men islaget er muligens tykkest på nordsiden.

## 2.2 Forsvarets stasjon.

På Forsvarets stasjon har vi fått opplyst at det dannes ofte is på wire og barduner. Diameteren kan bli opptil 20-30 cm, men isen er svært porøs og faller lett av ved banking på bardunene.

Hvis vi antar at densiteten er  $400 \text{ kg/m}^3$ , så vil islasten på bardunene være i intervallet 15-30 kg/m. Det er først og fremst usikkerheten i tykkelsen av belegget som bestemmer usikkerheten i dette estimatet.

## 3. Nedbør.

Nedbøren gir et bilde av vanninnholdet i den skylufta som blir transportert inn over området, og dermed også til en viss grad av isingsfaren.

Årsnedbøren på Finnmarksvidda er relativt liten. Normalen ligger hovedsakelig mellom 300 og 400 mm, og det kommer mest nedbør i juli og august. Tabell 1 viser normalene (1931-60) for månedene oktober - januar for fire norske stasjoner. I tillegg er det gitt månedsmidler for perioden 1961-80 for to finske stasjoner.

Tabell 2 viser døgnestremer for nedbør for de samme stasjonene for de periodene som er tilgjengelige på EDB. Karasjok og Iskurasjok viser at det kan komme 35-40 mm (tidlig) i oktober. Senere på høsten og vinteren er det ikke målt mer enn 15-16 mm på ett døgn. Det samme forholdet finnes også på finsk side.

#### 4. Skyer.

Tabell 3 er en sikt (VV)/skyhøydestatistikk (H) for Karasjok. Tallene er i prosent av antall observasjoner, og det er bare tatt med tilfeller der minst 5/8 av himmelen er dekket med skyer (de resterende står i kolonnen NH<5).

Vi ser at når det er overskyet er skybasis oftest over 1000 m, men det er også skyer under 600 m i 6-7% av tiden. Såpass lavt skydekke er trolig forbundet med østlig og sørlig vind.

#### 5. Ising.

Over 600 m høyde vil trolig den sterkeste isingen komme fra sektoren nordøst-sør. I tillegg kan det komme snøbelegg fra den åpne sektoren i nord, særlig om høsten eller (tidlig) på førjulsvinteren.

Nå er nedbørmengdene som nevnt relativt små, og dermed er også vanninnholdet i skylufta lite. Isingsintensiteten vil derfor bli lav, men varigheten av en isingsperiode kan bli lang. Dette gir oss et porøst isbelegg som kan bli relativt tykt. Observasjonene fra Forsvarets stasjon bekrefter dette.

Driftserfaringene med den bestående ledningen er altså gode, men forlengelsen har en mer ugunstig retning, og dessuten avtar den lokale dekningen sterkt mot vest. Det bør være tilstrekkelig å dimensjonere de første 400 m av forlengelsen for 10 kg/m.

Den vestligste delen er vanskeligere. Som nevnt, er opplysningene fra Forsvarets stasjon usikre. Stasjonen er også mer eksponert enn ledningen, som tross alt ligger på baksiden, selv om linehøyden kanskje er på nivå med fjellryggen.

Den antatte maksimumsverdien i avsnitt 2.2 er sikkert for høy. Dessuten skal islasten være et gjennomsnitt for ett spenn. Derfor antas 15 kg/m å være tilstrekkelig.

## 6. Vind.

På norsk side har vi ingen observasjoner av vind som er representativ for Iškuras. På finsk side er det en radiosondestasjon i Sodankylä, og tabell 4 viser en del vindstatistikk for de laveste nivåene over det atmosfæriske grenselaget for denne stasjonen. Perioden er 1965-80.

Vindhastigheten under 1500 m (850 mb) overstiger meget sjeldent 40 m/s. Maksimalverdien på 100 m/s for april i 850 mb er sannsynligvis gal, siden tilsvarende rekord for 900 mb (ca. 400 m lavere) bare er 27 m/s. Denne antakelsen er bekreftet fra det finske meteorologiske instituttet som forteller at tilsvarende ekstremer for 800 og 700 mb er 33 og 37 m/s henholdsvis.

Tabell 4 er basert på 2 målinger i døgnet og er ikke fullstendige for en analyse av ekstermer. Sammenlignet med andre data, bl.a. kyststasjoner i Norge, er det rimelig å anta at 50-årsverdien for vindhastigheten på Iškuras ikke vil overstige 50 m/s. Da er det tatt hensyn til en viss forsterkning av vinden over fjellmassivet.

De største vindhastighetene vil komme fra sektorene SØ-S og NV-N. Dette betyr at forlengelsen av kraftledningen vil bli utstatt for en større normalkomponent enn den bestående. Det er satt 45 m/s på den mest utsatte delen.

## 7. Is- og vindlaster.

Is- og vindlaster for forlengelsen av kraftledningen på Iškuras er satt opp i tabellen nedenfor. Strekningen er regnet i meter fra endemasten på den bestående ledningen.

Strekning	Is	$v_x$	$v_n$	v/d
0-400	10	45	40	32/8
400-	15	50	45	35/10

Symboler: Is - islast i kg/m

$v_x$  - maksimal vindhastighet i m/s

$v_n$  - vindens normalkomponent

v/d - kombinert vindhastighet/isdiameter (cm)

Tabell 1. Nedbørnormaler/månedsmidler for oktober-januar.

Stasjon	H.o.h.	Periode	OKT.	NOV.	DES.	JAN.
Valjok	116	1931-60	35	30	26	27
Karasjok	129	1931-60	23	21	19	17
Cuovdatmåkki	286	1931-60	26	25	20	18
Iskurasjok	153	1931-60	28	25	21	19
Utsjoki Kevi <sup>1)</sup>	107	1961-80	33	29	25	24
Ivalo <sup>1)</sup>	145	1961-80	36	27	21	20

Tabell 2. Døgnrekstremer av nedbør for oktober-januar.

Stasjon	Periode	OKT.	NOV.	DES.	JAN.
Valjok	1959-82	29.3	16.3	12.8	15.0
Karasjok	1957-82	36.1	12.6	12.9	14.3
Cuovdatmåkki	1966-82	19.0	12.6	10.5	15.2
Iskurasjok	1974-82	40.2	11.1	9.5	8.0
Utsjoki Kevi <sup>1)</sup>	1961-80	22.7	14.1	8.7	16.7
Ivalo <sup>1)</sup>	1961-80	22.7	15.7	11.5	12.2

<sup>1)</sup> Ref.: Heino & Hellsten: Climatological Statistics in Finland 1961-80. Finnish Meteorological Institute 1983.

Tabell 3. Sikt (VV)/skyhøyde (H)-statistikk for Karasjok 1957-81.

MONTHLY PERCENTAGE FREQUENCIES OF CONCURRENT HORIZONTAL VISIBILITIES AND HEIGHT OF THE LOWEST CLOUDS

= HEIGHT OF CLOUD IN METER

THE AMOUNT OF CLOUDS THE HEIGHT OF WHICH IS LESS THAN 5/8, THE OBS. IS TO BE FOUND UNDER NH5

V = HORIZONTAL VISIBILITY IN METER OR KILOMETER

= NUMBER OF OBSERVATIONS

KARASJOK 1957-1981

VV	H	0-50M	50-100M	100-200M	200-300M	300-600M	600-1000M	1000-1500M	1500-2000M	2000-2500M	2500M+	NH5	MISS	TOTAL
AR														N = 31745
0-50 M	0.0											0.0	0.0	0.0
0-200 M	0.0											0.0	0.1	0.2
0-500 M	0.1	0.0	0.0	0.0	0.0	0.0	0.0	0.0	0.0	0.0	0.0	0.0	0.3	0.6
0-1000 M	0.0	0.0	0.0	0.0	0.0	0.0	0.0	0.0	0.0	0.0	0.0	0.0	0.3	0.5
1-2 KM	0.1	0.0	0.1	0.1	0.1	0.0	0.0	0.0	0.0	0.0	0.0	0.1	0.2	0.7
2-4 KM	0.0	0.1	0.2	1.0	1.1	0.6	0.9	0.0	0.0	0.0	0.0	0.3	1.1	5.3
4-10 KM	0.0	0.0	0.1	0.6	1.6	1.1	1.7	0.0	0.1	0.0	0.0	0.8	2.1	8.2
10-20 KM	0.0	0.0	0.0	0.1	0.2	0.1	0.2	0.0	0.0	0.0	0.0	0.2	0.1	0.9
20-50 KM	0.0	0.0	0.0	0.1	0.2	0.1	0.2	0.0	0.0	0.0	0.0	0.0	0.0	0.0
>50 KM	0.1	0.0	0.1	0.3	0.7	0.7	1.7	0.0	0.1	0.0	1.3	1.0	5.9	
TAL.		0.6	0.2	0.5	2.1	4.3	5.0	30.5	0.6	2.4	0.1	35.7	18.0	100.0

Tabell 4. Windstatistikk for Sodankylä radiosondestasjon,  
Finland.

Ref.: Statistics of Radiosonde Observations  
1961-80. Helsinki 1984.

TUULEN NOPEUDEN(M/S) TILASTO KUUKAUSITTAIN ERI PAINEPINNOILTA (HAVAITTOJEN LUKUMÄÄRÄ, KESKIARVO, HAJONTA JA MÄKSIMI SEKA KERTYMAFUNKTIOIDEN PROSENTTIPISTEET)

02836 SODANKYLÄ 1965...1980

MONTHLY STATISTICS OF WIND SPEED(M/S) AT DIFFERENT PRESSURE LEVELS INCLUDING THE VALUES OF PERCENTILES OF SAMPLE CUMULATIVE DISTRIBUTION

950 MB 12 GMT

	I	II	III	IV	V	VI	VII	VIII	IX	X	XI	XII	TOT
NOBS	491	451	493	478	496	480	494	494	480	490	474	490	5811
MEAN	8.4	8.3	7.0	6.6	6.0	5.8	5.5	5.8	6.7	7.4	7.8	8.4	7.0
STD	4.5	4.5	3.7	3.4	3.2	3.0	2.8	2.9	3.5	3.6	3.9	4.2	3.8
MAX.	29.0	28.0	21.0	21.0	22.0	18.0	18.0	17.0	23.0	19.0	28.0	28.0	29.0
1 %	0.9	0.8	0.8	0.9	0.8	0.7	0.7	0.7	0.9	1.1	1.3	1.2	0.8
10 %	3.0	2.8	2.4	2.6	2.3	2.2	2.0	2.2	2.7	2.9	3.0	3.1	2.5
20 %	4.3	4.4	3.6	3.7	3.2	3.2	3.0	3.2	3.6	4.0	4.3	4.7	3.7
30 %	5.4	5.7	4.5	4.4	4.0	4.0	3.9	4.0	4.6	5.1	5.5	6.0	4.6
40 %	6.8	6.8	5.5	5.3	4.6	4.8	4.7	4.7	5.4	6.1	6.4	7.2	5.5
50 %	8.0	7.9	6.5	6.1	5.3	5.5	5.3	5.4	6.3	7.0	7.5	8.1	6.4
60 %	9.0	8.8	7.7	7.0	6.1	6.3	6.0	6.1	7.2	8.0	8.5	9.1	7.4
70 %	10.3	10.0	8.8	8.0	7.2	7.1	6.8	7.0	8.3	9.1	9.7	10.2	8.5
80 %	12.0	11.7	10.0	9.3	8.8	8.2	7.8	8.1	9.5	10.6	10.8	11.6	9.9
90 %	14.5	14.4	12.2	11.6	10.4	9.8	9.3	10.0	11.4	12.3	13.2	13.9	12.0
99 %	20.6	22.0	16.9	15.6	15.0	15.2	13.6	13.6	15.7	16.6	18.1	20.1	18.1

900 MB

	I	II	III	IV	V	VI	VII	VIII	IX	X	XI	XII	TOT
NOBS	989	904	991	957	992	960	989	987	960	985	959	991	11664
MEAN	10.7	10.8	9.7	8.6	7.3	7.2	6.9	7.2	8.8	10.1	10.8	11.2	9.1
STD	6.1	5.9	5.2	4.8	4.2	4.1	4.1	4.2	5.1	5.5	5.7	5.9	5.4
MAX.	42.0	39.0	33.0	27.0	27.0	31.0	35.0	31.0	34.0	34.0	37.0	31.0	42.0
1 %	1.4	1.2	1.2	1.1	1.0	0.9	0.8	0.8	1.0	1.3	1.6	1.6	1.0
10 %	3.6	3.7	3.6	3.2	2.6	2.7	2.3	2.6	3.1	3.7	3.9	4.2	3.1
20 %	5.4	5.7	5.3	4.4	3.7	3.8	3.5	3.6	4.4	5.2	5.7	6.1	4.5
30 %	6.8	7.3	6.5	5.6	4.8	4.7	4.5	4.5	5.5	6.6	7.2	7.8	5.7
40 %	8.3	8.6	7.7	6.7	5.7	5.6	5.4	5.4	6.8	7.9	8.6	9.0	6.9
50 %	9.8	10.0	8.8	7.8	6.5	6.4	6.2	6.5	8.0	9.3	10.0	10.3	8.1
60 %	11.3	11.3	10.2	9.0	7.5	7.5	7.2	7.6	9.3	10.8	11.6	12.1	9.5
70 %	13.2	13.1	12.0	10.7	8.8	8.6	8.3	8.7	11.0	12.4	13.5	13.7	11.2
80 %	15.7	15.5	13.8	12.6	10.6	10.2	9.7	10.3	12.8	14.3	15.6	15.8	13.2
90 %	19.3	19.3	16.7	15.2	13.2	12.6	12.3	12.7	15.8	17.5	18.6	19.3	16.5
99 %	27.1	26.5	24.4	22.9	20.5	19.6	19.4	20.2	24.6	25.6	26.3	28.0	25.1

850 MB

	I	II	III	IV	V	VI	VII	VIII	IX	X	XI	XII	TOT
NOBS	939	904	991	959	992	960	990	988	960	985	959	991	11668
MEAN	10.8	11.2	10.0	9.1	7.9	7.7	7.4	7.8	9.3	10.4	11.1	11.6	9.5
STD	6.2	6.4	5.2	5.8	4.6	4.1	4.1	4.4	5.2	5.8	6.1	6.4	5.6
MAX.	40.0	40.0	33.0	100.0	29.0	27.0	37.0	27.0	36.0	39.0	38.0	38.0	100.0
1 %	1.3	1.3	1.2	1.0	1.0	1.0	0.8	1.1	1.1	1.4	1.4	1.1	
10 %	3.8	3.9	3.9	3.2	3.0	3.0	2.7	2.9	3.4	3.7	4.1	4.3	3.4
20 %	5.6	5.9	5.6	4.7	4.1	4.1	3.9	4.0	4.9	5.5	6.0	6.2	4.8
30 %	7.1	7.6	6.9	5.9	5.1	5.1	4.8	5.1	6.1	7.0	7.5	7.7	6.1
40 %	8.3	8.7	8.2	7.1	6.1	6.1	5.8	6.1	7.4	8.2	8.8	9.1	7.3
50 %	9.8	10.1	9.5	8.3	7.0	7.1	6.7	7.1	8.6	9.6	10.3	10.4	8.5
60 %	11.6	11.7	10.8	9.5	8.1	8.1	7.8	8.1	9.8	11.0	11.7	11.9	9.9
70 %	13.2	13.1	12.1	11.1	9.4	9.2	8.9	9.4	11.3	12.5	13.3	13.6	11.5
80 %	15.4	15.9	13.9	12.7	11.3	10.8	10.3	11.1	13.2	14.8	15.6	16.5	13.4
90 %	19.1	19.9	16.9	15.8	14.0	13.1	12.6	13.8	16.0	18.1	19.3	20.7	16.9
99 %	29.9	29.5	25.5	23.6	22.6	20.7	20.5	21.2	25.6	28.2	29.6	28.9	27.0

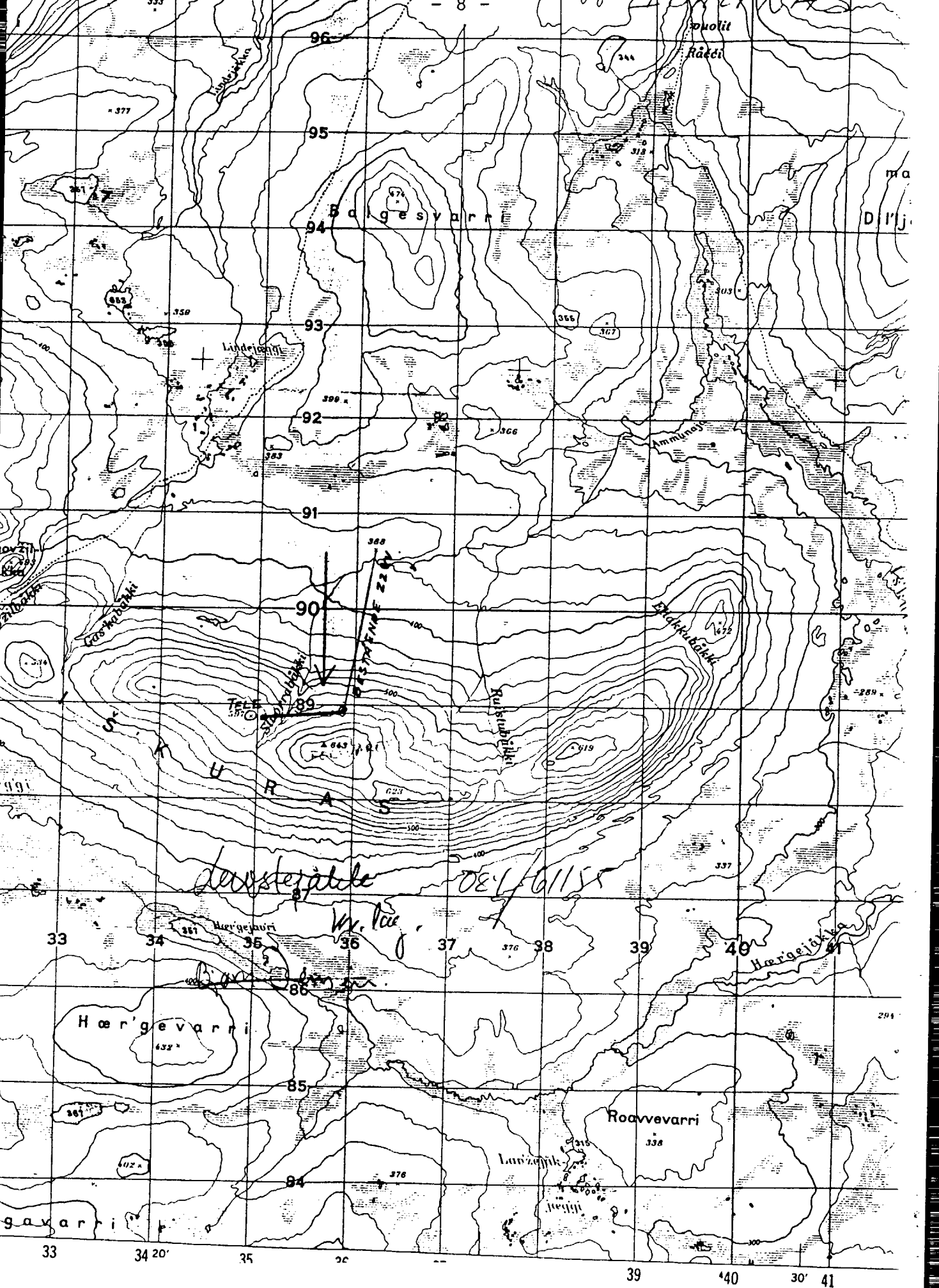
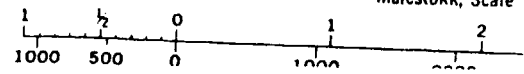


Fig 1. Trasékart for kraftledning til Iškuras radiolinjestasjon.

FINNMARK F

Målestokk, Scale 1



**DNMI - KLIMA AVDELINGENS FAGRAPPORTER**

- 1/84 NORDLIE, P E:  
KLIMAGRANSKINGAR I NVE'S PROSJEKTOMRADE FOR KRAFTUTBYGGING.  
Statusrapporter 1983, administrativ del  
Oppdragsgjevar: NVE - Statskraftverka
- 2/84 AUNE, B:  
ROGNMOEN GRUSTAK Eventuelle lokale klimaendringer  
08.06.1984  
Oppdragsgiver: Statens vegvesen, Vegsjefen i Troms fylke
- 3/84 FØRLAND, E J:  
PAREGNELIGE EKSTREME NEDBØRVERDIER  
03.07.1984  
Oppdragsgiver: NVE - Hydrologisk avdeling
- 4/84 FØRLAND, E J og IDEN, K A:  
EKSTREM NEDBØR I LØPET AV 1 - 30 DØGN  
Observerte og beregnede verdier for 49 stasjoner  
03.07.1984  
Oppdragsgiver: Vassdragsregulantenes Forening
- 5/84 NORDLIE, P E:  
E6 MOGREINA - BOKSRUD Klimavurdering av konsekvensene ved  
kryssing av Andelva  
05.07.1984  
Oppdragsgjevar: Statens vegvesen, Vegsjefen i Akershus fylke
- 6/84 NORDLIE, P E:  
KLIMAENDRINGAR PA GRUNN AV IS I INDRE NORDFJORD  
05.07.1984  
Oppdragsgjevar: NVE - Statskraftverka
- 7/84 FIKKE, S M:  
KRAFTLEDNING TIL ILULISSAT/JAKOBSHAVN  
Meteorologiske vurderinger  
25.10.1984  
Oppdragsgiver: Grønlands Tekniske Organisasjon
- 8/84 FIKKE, S M:  
KRAFTLEDNINGSTRASEER TIL ILULISSAT/JAKOBSHAVN  
REISERAPPORT ETTER STUDIETUR 31.08-10.09.1984  
25.10.1984  
Oppdragsgiver: Grønlands Tekniske Organisasjon
- 9/84 FIKKE, S M:  
22kV KRAFTLEDNING TIL HAMNEFJELL RL-STASJON  
Is- og vindlester  
09.11.1984  
Oppdragsgiver: Tron Horn A/S for Teledirektoratet TBE
- 10/84 FIKKE, S M:  
22kV KRAFTLEDNING TIL ISKURAS RL-STASJON  
Is- og vindlester  
09.11.1984  
Oppdragsgiver: Tron Horn A/S for Teledirektoratet TBE